

DAFTAR PUSTAKA

- Arciola CR, Campoccia D, Ravaioli S, *et al.* 2015. Polysaccharide intercellular adhesin in biofilm: structural and regulatory aspects. *Frontiers in cellular and infection microbiology* 5: 7
- Bahi RRR, Herowati R, Harmastuti N. 2020. Studi Biokemoinformatika Kandungan Kimia Daun Sambiloto (*Andrographis paniculata* (Burm. f.) Nees) sebagai Antihiperglikemia serta Prediksi Parameter Farmakokinetik dan Toksisitas. *PHARMACY: Jurnal Farmasi Indonesia (Pharmaceutical Journal of Indonesia)* 17: 466-77
- Banerjee P, Eckert AO, Schrey AK, *et al.* 2018. ProTox-II: a webserver for the prediction of toxicity of chemicals. *Nucleic Acids Research* 46: W257-W63
- Bare Y, Sari DRT, Rachmad YT, *et al.* 2019. In silico insight the prediction of chlorogenic acid in coffee through Cyclooxygenase-2 (COX2) Interaction. *Biogenesis: Jurnal Ilmiah Biologi* 7: 100-5
- Bazargani MM, Rohloff J. 2016. Antibiofilm activity of essential oils and plant extracts against *Staphylococcus aureus* and *Escherichia coli* biofilms. *Food control* 61: 156-64
- Bell EW, Zhang Y. 2019. DockRMSD: an open-source tool for atom mapping and RMSD calculation of symmetric molecules through graph isomorphism. *Journal of Cheminformatics* 11: 1-9
- Craft KM, Nguyen JM, Berg LJ, *et al.* 2019. Methicillin-resistant *Staphylococcus aureus* (MRSA): antibiotic-resistance and the biofilm phenotype. *MedChemComm* 10: 1231-41
- Daina A, Michelin O, Zoete V. 2017. SwissADME: a free web tool to evaluate pharmacokinetics, drug-likeness and medicinal chemistry friendliness of small molecules. *Scientific reports* 7: 1-13
- Dallakyan S, Olson A. 2015. Small-Molecule Library Screening by Docking with PyRx. *Methods in molecular biology (Clifton, N.J.)* 1263: 243-50
- Darwis D. 2013. Uji praklinis pembalut luka hidrogel berbasis PVP steril iradiasi menggunakan tikus putih: Evaluasi iritasi dan sensitasi. *Jurnal Ilmiah Aplikasi Isotop dan Radiasi* 4
- Duarte A, Luís Á, Oleastro M, *et al.* 2016. Antioxidant properties of coriander essential oil and Linalool and their potential to control *Campylobacter* spp. *Food Control* 61: 115-22

- Duke JA. 2016. Dr. Duke's Phytochemical and Ethnobotanical Databases. <https://data.nal.usda.gov/dataset/dr-dukes-phytochemical-and-ethnobotanical-databases>. Diakses pada 01 Agustus
- Ekowati J, Diyah NW, Nofianti KA, et al. 2018. Molecular Docking of Ferulic Acid Derivatives on P2Y12 Receptor and their ADMET Prediction. *Journal of Mathematical and Fundamental Sciences* 50: 203-19
- Farooq A, Muhammad S, Abdullah IH, et al. 2011. Physicochemical composition of hydro-distilled essential oil from coriander (*Coriandrum sativum* L.) seeds cultivated in Pakistan. *Journal of Medicinal Plants Research* 5: 3537-44
- Ferwadi S, Gunawan R, Astuti W. 2017. Studi Docking Molekular Senyawa Asam Sinamat Dan Derivatnya Sebagai Inhibitor Protein 1j4x Pada Sel Kanker Serviks. *Jurnal Kimia Mulawarman* 14: 84-90
- Hadži D, Kidrič J, Koller J, et al. 1990. The role of hydrogen bonding in drug-receptor interactions. *Journal of Molecular Structure* 237: 139-50
- Hamidah r. 2021. *Uji aktivitas antibakteri ekstrak biji ketumbar (coriandrum sativum l) terhadap bakteri bacillus cereus atcc 11778 secara in vitro*. Stikes Karya Putra Bangsa Tulungagung
- Hardjono S. 2017. Prediksi sifat farmakokinetik, toksisitas dan aktivitas sitotoksik turunan N-benzoil-N'-(4-fluorofenil) tiourea sebagai calon obat antikanker melalui pemodelan molekul. *Jurnal Ilmu Kefarmasian Indonesia* 14: 246-55
- Haryanto EE, Sasongkowati R, Woelansari ED. 2019. *Studi Insilico Aktivitas Antioksidan dan ADMET Brazilein Kayu Secang (Caesalpinia sappan L) terhadap Escherichia coli Extended Spectrum Beta-Lactamase (ESBL)(Kandidat Suplemen Penguat Sistem Imun)*. Presented at Prosiding Seminar Nasional Kesehatan Poltekkes Kemenkes Surabaya
- Hirko B, Abera S, Haimanot M, et al. 2019. Chemical Composition of Essential Oils from Released Coriander Variety (*Coriandrum sativum* L.) Grown In Ethiopia. *Results of Crop Improvement and Management Research* 2018
- Holt MP, Ju C. 2006. Mechanisms of drug-induced liver injury. *Aaps j* 8: E48-54
- Hubbard RE, Haider MK. 2010. Hydrogen bonds in proteins: role and strength. *eLS*
- Kesuma D, Purwanto BT, Hardjono S. 2018. Uji in silico aktivitas sitotoksik dan toksisitas senyawa Turunan N-(Benzoil)-N'-feniltiourea sebagai calon obat antikanker. *Journal of Pharmaceutical Science and Clinical Research* 3: 1-11

Khatoon Z, McTiernan CD, Suuronen EJ, *et al.* 2018. Bacterial biofilm formation on implantable devices and approaches to its treatment and prevention. *Heliyon* 4: e01067

Kırmusaoğlu S. 2016. Staphylococcal biofilms: Pathogenicity, mechanism and regulation of biofilm formation by quorum sensing system and antibiotic resistance mechanisms of biofilm embedded microorganisms. *Microbial biofilms: importance and applications*. IntechOpen: 189-209

Kokare C, Chakraborty S, Khopade A, *et al.* 2009. Biofilm: importance and applications.

Leonard PG, Bezar IF, Sidote DJ, *et al.* 2012. Identification of a hydrophobic cleft in the LytTR domain of AgrA as a locus for small molecule interactions that inhibit DNA binding. *Biochemistry* 51: 10035-43

Li Y-H, Tian X. 2012. Quorum sensing and bacterial social interactions in biofilms. *Sensors* 12: 2519-38

Liébana R, Arregui L, Santos A, *et al.* 2016. Unravelling the interactions among microbial populations found in activated sludge during biofilm formation. *FEMS microbiology ecology* 92

Lynch T, Neff AP. 2007. The effect of cytochrome P450 metabolism on drug response, interactions, and adverse effects. *American family physician* 76: 391-6

Mah T-FC, O'Toole GA. 2001. Mechanisms of biofilm resistance to antimicrobial agents. *Trends in microbiology* 9: 34-9

McDonnell AM, Dang CH. 2013. Basic review of the cytochrome p450 system. *J Adv Pract Oncol* 4: 263-8

Mehrishi P, Agarwal P, Broor S, *et al.* 2020. Antibacterial and antibiofilm properties of medicinal plant extracts against multi drug resistant *Staphylococcus* species and non fermenter bacteria. *J Pure Appl Microbiol* 14: 403-13

Meilina R, Rosdiana E, Rezeki S, *et al.* 2021. Pemanfaatan biji ketumbar sebagai salah satu pilihan pengobatan luka. *Jurnal Pengabdian Kepada Masyarakat (Kesehatan)* 3: 119-24

Morris GM, Huey R, Lindstrom W, *et al.* 2009. AutoDock4 and AutoDockTools4: Automated docking with selective receptor flexibility. *J Comput Chem* 30: 2785-91

- Msaada K, Hosni K, Taarit MB, et al. 2007. Changes on essential oil composition of coriander (*Coriandrum sativum L.*) fruits during three stages of maturity. *Food chemistry* 102: 1131-4
- O'Boyle NM, Banck M, James CA, et al. 2011. Open Babel: An open chemical toolbox. *Journal of Cheminformatics* 3: 33
- O'Gara JP. 2007. ica and beyond: biofilm mechanisms and regulation in *Staphylococcus epidermidis* and *Staphylococcus aureus*. *FEMS microbiology letters* 270: 179-88
- Pang KS. 2003. Modeling of intestinal drug absorption: roles of transporters and metabolic enzymes (for the Gillette Review Series). *Drug metabolism and disposition* 31: 1507-19
- Peiqian L, Xiaoming P, Huifang S, et al. 2014. Biofilm formation by *Fusarium oxysporum* f. sp. *cucumerinum* and susceptibility to environmental stress. *FEMS Microbiology Letters* 350: 138-45
- Pires DE, Blundell TL, Ascher DB. 2015. pkCSM: Predicting Small-Molecule Pharmacokinetic and Toxicity Properties Using Graph-Based Signatures. *J Med Chem* 58: 4066-72
- Rudnitskaya A, Török B, Török M. 2010. Molecular docking of enzyme inhibitors: A COMPUTATIONAL TOOL FOR STRUCTURE-BASED DRUG DESIGN. *Biochemistry and Molecular Biology Education* 38: 261-5
- Rustum E, Masri M, Arifin H. 2011. LD-50 and Delayed Toxicity Study of the Ethanol Extract of *Nothopanax Scutellarium* Merr. Leave. *Jurnal Medika Planta* 1: 246295
- Ruswanto R. 2015. molecular docking empat turunan isonicotinohydrazide pada *mycobacterium tuberculosis* enoyl-acyl carrier protein reductase (InhA). *Jurnal Kesehatan Bakti Tunas Husada: Jurnal Ilmu-ilmu Keperawatan, Analisis Kesehatan dan Farmasi* 13
- Saeki EK, Kobayashi RKT, Nakazato G. 2020. Quorum sensing system: Target to control the spread of bacterial infections. *Microbial pathogenesis* 142: 104068
- Sardi A. 2021. *Infeksi Nosokomial: Jenis Infeksi dan Patogen Penyebabnya*. Presented at Seminar Nasional Riset Kedokteran
- Shofi M. 2021. Analysis of a-spinasterol Compounds in Trembesi Seeds (*Samanea saman* (jacq.) Merr) Against Inhibition of 3C-like Protease SARS-CoV-2 Through In Silico Test. *Jurnal Sintesis: Penelitian Sains, Terapan dan Analisisnya* 2: 74-88

- Singh R, Ray P, Das A, *et al.* 2010. Penetration of antibiotics through *Staphylococcus aureus* and *Staphylococcus epidermidis* biofilms. *J Antimicrob Chemother* 65: 1955-8
- Srivastava SK, Rajasree K, Fasim A, *et al.* 2014. Influence of the AgrC-AgrA complex on the response time of *Staphylococcus aureus* quorum sensing. *J Bacteriol* 196: 2876-88
- Suharna S. 2012. Studi In Silico Senyawa Turunan Flavonoid Terhadap Penghambatan Enzim Tirosinase. *Makassar: Program Sarjana UIN Alauddin*
- Trott O, Olson AJ. 2010. AutoDock Vina: improving the speed and accuracy of docking with a new scoring function, efficient optimization, and multithreading. *Journal of computational chemistry* 31: 455-61
- Utari NR. 2018. *Efek Ekstrak Etanol Propolis Lebah Madu (Trigona Spp) Sebagai Penghambat Pembentukan Biofilm Escherichia Coli Secara In Vitro*. Universitas Brawijaya
- Vadakkan K, Choudhury A, Gunasekaran R, *et al.* 2018. Quorum sensing intervened bacterial signaling: Pursuit of its cognizance and repression. *Journal of Genetic Engineering and Biotechnology* 16
- Wong SE, Lightstone FC. 2011. Accounting for water molecules in drug design. *Expert opinion on drug discovery* 6: 65-74



LAMPIRAN I. TABEL LAMPIRAN

Tabel Lampiran 1. Senyawa aktif minyak atsiri ketumbar

Senyawa Aktif	IUPAC
1,8-Cineol	4,6,6-trideuterio-1,3,3-trimethyl-2-oxabicyclo[2.2.2]octane
α -Caryophyllene	2,6,6,9-tetramethylcycloundeca-1,4,8-triene
α -Pinene	2,6,6-trimethylbicyclo[3.1.1]hept-2-ene
Anethole	1-methoxy-4-[(E)-prop-1-enyl]benzene
β -Caryophyllene	(1R,4E,9S)-4,11,11-trimethyl-8-methylidenebicyclo[7.2.0]undec-4-ene
β -Myrcene	8,8,8-trideuterio-3-methylidene-7-(trideuteriomethyl)octa-1,6-diene
β -Ocimene	(3E)-3,7-dimethylocta-1,3,6-triene
β -Pinene	6,6-dimethyl-2-methylidenebicyclo[3.1.1]heptane
Borneol	1,7,7-trimethylbicyclo[2.2.1]heptan-2-ol
Camphene	2,2-dimethyl-3-methylidenebicyclo[2.2.1]heptane
Camphor	1,7,7-trimethylbicyclo[2.2.1]heptan-2-one
Carvacrol	2-methyl-5-propan-2-ylphenol
Carvone	2-methyl-5-prop-1-en-2-ylcyclohex-2-en-1-one
Cis-Dihydrocarvone	(2R,5S)-2-methyl-5-prop-1-en-2-ylcyclohexan-1-one
Citronellal	3,7-dimethyloct-6-enal
Decanal	Decanal
D-Elemene	(4S,5S)-4-ethenyl-4-methyl-1-propan-2-yl-5-prop-1-en-2-ylcyclohexene
Dodecanal	Dodecanal
Eugenol Acetate	(2-methoxy-4-prop-2-enylphenyl) acetate
Eugenol	2-methoxy-4-prop-2-enylphenol
γ -Terpinene	1-methyl-4-propan-2-ylcyclohexa-1,4-diene
Geranial	(2E)-3,7-dimethylocta-2,6-dienal
Geraniol	(2E)-3,7-dimethylocta-2,6-dien-1-ol
Geranyl Acetate	[(2E)-3,7-dimethylocta-2,6-dienyl] acetate

Tabel Lampiran 1. Senyawa aktif minyak atsiri ketumbar

Senyawa Aktif	IUPAC
<i>Germacrene</i>	(1E,5E,8R)-1,5-dimethyl-8-prop-1-en-2-ylcyclodeca-1,5-diene
<i>Heptanol</i>	heptan-1-ol
<i>Limonene</i>	1-methyl-4-prop-1-en-2-ylcyclohexene
<i>Linalool</i>	3,7-dimethylocta-1,6-dien-3-ol
<i>Menthol</i>	5-methyl-2-propan-2-ylcyclohexan-1-ol
<i>Neral</i>	(2Z)-3,7-dimethylocta-2,6-dienal
<i>Nerol</i>	(2Z)-3,7-dimethylocta-2,6-dien-1-ol
<i>P-Cymene</i>	1-methyl-4-propan-2-ylbenzene
<i>Sabinene</i>	4-methylidene-1-propan-2-ylbicyclo[3.1.0]hexane

Tabel Lampiran 2. Nilai energi bebas ikatan ligan alami dan ligan uji terhadap protein 4BXI dan 4G4K

Senyawa Aktif	Energi Ikatan (Kkal/mol)	
	4BXI	4G4K
Ligan Alami	-2,9	-2,1
<i>1,8-Cineol</i>	-4,1	-
<i>α-Caryophyllene</i>	-	-
<i>α-Pinene</i>	-4,0	-
<i>Anethole</i>	-	-
<i>β-Caryophyllene</i>	-	-
<i>β-Myrcene</i>	-3,6	-2,3
<i>β-Ocimene</i>	-3,2	-2,2
<i>β-Pinene</i>	-4,0	-
<i>Borneol</i>	-4,1	-
<i>Camphene</i>	-4,0	-1,6
<i>Camphor</i>	-3,6	-
<i>Carvacrol</i>	-3,5	-2,7
<i>Carvone</i>	-3,4	-1,7
<i>Cis-Dihydrocarvone</i>	-4,2	-2,6

Tabel Lampiran 2. Nilai energi bebas ikatan ligan alami dan ligan uji terhadap protein 4BXI dan 4G4K

Senyawa Aktif	Energi Ikatan (Kkal/mol)	
	4BXI	4G4K
<i>Citronellal</i>	-3,6	-2,3
<i>Decanal</i>	-3,1	-2,0
<i>D-Elemene</i>	-	-
<i>Dodecanal</i>	-2,3	-1,4
<i>Eugenol Acetate</i>	-	-
<i>Eugenol</i>	-3,4	-1,9
<i>γ-Terpinene</i>	-3,5	-2,0
<i>Geranial</i>	-3,0	-1,5
<i>Geraniol</i>	-3,5	-1,9
<i>Geranyl Acetate</i>	-2,7	-1,4
<i>Germacrene</i>	-	-
<i>Heptanol</i>	-3,2	-2,1
<i>Limonene</i>	-3,5	-2,2
<i>Linalool</i>	-3,2	-2,3
<i>Menthol</i>	-3,8	-1,7
<i>Neral</i>	-3,5	-2,3
<i>Nerol</i>	-3,4	-2,2
<i>P-Cymene</i>	-3,5	-2,2
<i>Sabinene</i>	-3,9	-2,0

Tabel Lampiran 3. Jenis interaksi residu asam amino

Senyawa Aktif	Kategori Ikatan	Jenis Ikatan	Jarak Ikatan (Å)	Residu Asam Amino
				4BXI
Ligan Alami	Hidrogen	Konvensional	2,47	LEU A:324
1,8-Cineol	Hidrofobik	Alkil	4,60	VAL A:290
α-Pinene	Hidrofobik	Alkil	5,40	VAL A:290
		Alkil	5,47	MET A:326

Tabel Lampiran 3. Jenis interaksi residu asam amino

Senyawa Aktif	Kategori Ikatan	Jenis Ikatan	Jarak Ikatan (Å)	Residu Asam Amino
<i>β-Myrcene</i>	Hidrofobik	Alkil	4,48	VAL A:290
	Hidrofobik	Alkil	5,13	ILE A:322
	Hidrofobik	Alkil	4,79	MET A:326
<i>β-Ocimene</i>	Hidrofobik	Alkil	5,05	VAL A:290
	Hidrofobik	Alkil	5,01	MET A:326
	Hidrofobik	Alkil	5,36	LEU A:329
	Hidrofobik	Alkil	4,51	ILE A:293
<i>β-Pinene</i>	Hidrofobik	Alkil	5,02	VAL A:290
<i>Borneol</i>	Hidrogen	Konvensional	1,95	LEU A:324
	Hidrofobik	Alkil	5,05	VAL A:290
<i>Camphene</i>	Hidrofobik	Alkil	4,92	VAL A:290
	Hidrofobik	Alkil	4,90	MET A:326
	Hidrofobik	Alkil	4,42	LEU A:329
<i>Camphor</i>	Hidrofobik	Alkil	5,01	VAL A:290
	Hidrofobik	Alkil	5,36	LEU A:329
<i>Carvacrol</i>	Elektrostatik	Pi-Anion	4,27	GLU A:292
<i>Carvone</i>	Hidrogen	Konvensional	2,36	MET A:326
<i>Cis-Dihydrocarvone</i>	Hidrogen	Konvensional	2,65	MET A:326
<i>Citronella</i>	Hidrogen	Konvensional	2,32	MET A:326
	Hidrofobik	Alkil	4,13	VAL A:290
<i>Decanal</i>	Hidrogen	Konvensional	1,97	ILE A: 322
	Hidrofobik	Alkil	4,98	MET A:326
	Hidrofobik	Alkil	4,80	VAL A:290
	Hidrofobik	Alkil	4,77	ILE A:293
	Hidrofobik	Alkil	4,66	LEU A:329
<i>Eugenol</i>	Hidrofobik	Alkil	4,85	VAL A:290
	Hidrofobik	Alkil	4,47	ILE A:293
	Hidrofobik	Alkil	4,59	MET A:326
	Hidrofobik	Alkil	4,40	LEU A:329
<i>γ-Terpinene</i>	Hidrofobik	Alkil	5,00	VAL A:290
	Hidrofobik	Alkil	4,69	ILE A:293
	Hidrofobik	Alkil	4,47	MET A:326
	Hidrofobik	Alkil	4,41	LEU A:329
<i>Geranial</i>	Hidrogen	Karbon-Hidrogen	3,62	SER A:321
	Hidrofobik	Alkil	4,93	VAL A:290
	Hidrofobik	Alkil	4,60	MET A:326
	Hidrofobik	Alkil	4,81	LEU A:329
<i>Geraniol</i>	Hidrofobik	Alkil	4,89	VAL A:290

Tabel Lampiran 3. Jenis interaksi residu asam amino

Senyawa Aktif	Kategori Ikatan	Jenis Ikatan	Jarak Ikatan (Å)	Residu Asam Amino
<i>Heptanol</i>	Hidrofobik	Alkil	5,26	MET A:326
	Hidrofobik	Alkil	5,35	LEU A:329
	Hidrofobik	Alkil	4,65	ILE A:293
<i>Limonene</i>	Hidrofobik	Alkil	4,26	VAL A:290
	Hidrofobik	Alkil	5,13	ILE A:322
	Hidrofobik	Alkil	4,63	MET A:326
<i>Linalool</i>	Hidrofobik	Alkil	4,65	VAL A:290
	Hidrofobik	Alkil	5,05	ILE A:293
	Hidrofobik	Alkil	4,51	MET A:326
	Hidrofobik	Alkil	4,51	LEU A:329
<i>Menthol</i>	Hidrofobik	Alkil	4,52	VAL A: 290
	Hidrofobik	Alkil	5,42	ILE A:322
<i>Neral</i>	Hidrogen	Konvensional	2,51	LEU A:324
	Hidrofobik	Alkil	5,42	VAL A:290
<i>Nerol</i>	Hidrogen	Konvensional	2,73	MET A:326
	Hidrofobik	Alkil	4,49	VAL A: 290
	Hidrofobik	Alkil	5,43	ILE A:322
<i>P-Cymene</i>	Hidrofobik	Alkil	4,41	VAL A:290
	Hidrofobik	Alkil	5,37	ILE A:322
<i>Sabinene</i>	Elektrostatisik	Pi-Anion	4,14	GLU A:292
	Hidrofobik	Alkil	5,05	VAL A:290
	Hidrofobik	Alkil	4,73	ILE A:293
<i>Ligan Alami</i>	Hidrogen	Konvensional	2,13	HIS A:200
	Hidrogen	Konvensional	2,37	ARG A:218
<i>β-Myrcene</i>	Hidrofobik	Pi-Alkil	4,86	HIS A:200
	Hidrofobik	Pi-Alkil	4,47	TYR A:229
<i>β-Ocimene</i>	Hidrofobik	Pi-Sigma	3,63	HIS A:200
<i>Carvacrol</i>	Hidrofobik	Pi-Pi T-Shaped	4,51	HIS A:200
	Hidrofobik	Pi-Alkil	4,54	HIS A:200
	Hidrofobik	Pi-Alkil	4,25	TYR A:229
<i>Cis-Dihydrocarvone</i>	Hidrogen	Konvensional	2,71	VAL A:232
	Hidrogen	Karbon-Hidrogen	3,58	SER A:231
	Hidrofobik	Pi-Sigma	3,97	HIS A:200
<i>Citronellal</i>	Hidrogen	Konvensional	2,50	HIS A:200
	Hidrogen	Konvensional	2,10	ARG A:218
	Hidrofobik	Pi-Alkil	5,07	HIS A:200

Tabel Lampiran 3. Jenis interaksi residu asam amino

Senyawa Aktif	Kategori Ikatan	Jenis Ikatan	Jarak Ikatan (Å)	Residu Asam Amino
<i>Limonene</i>	Hidrofobik	Pi-Alkil	4,52	HIS A:200
	Hidrofobik	Pi-Alkil	4,26	TYR A:229
<i>Linalool</i>	Hidrogen	Konvensional	2,29	HIS A:200
	Hidrofobik	Pi-Sigma	3,73	HIS A:200
<i>Neral</i>	Hidrogen	Konvensional	2,44	ARG A:218
	Hidrofobik	Pi-Alkil	4,91	HIS A:200
	Hidrofobik	Pi-Alkil	5,19	TYR A:229
<i>Nerol</i>	Hidrofobik	Pi-Alkil	5,07	HIS A:200
<i>P-Cymene</i>	Hidrofobik	Pi-Pi T-Shaped	4,71	HIS A:200
	Hidrofobik	Pi-Alkil	4,63	HIS A:200
	Hidrofobik	Pi-Alkil	4,44	TYR A:229

*Cetak tebal: Jenis interaksi residu asam amino yang serupa dengan ligan alami

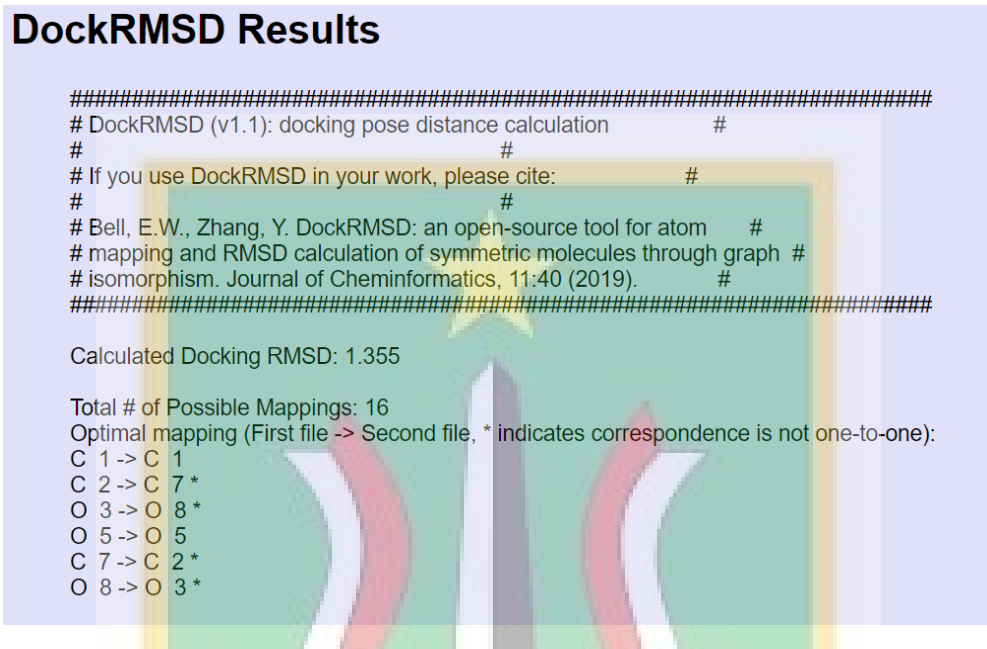


Tabel Lampiran 4. Hasil prediksi profil farmakokinetik dan toksisitas senyawa aktif terpilih

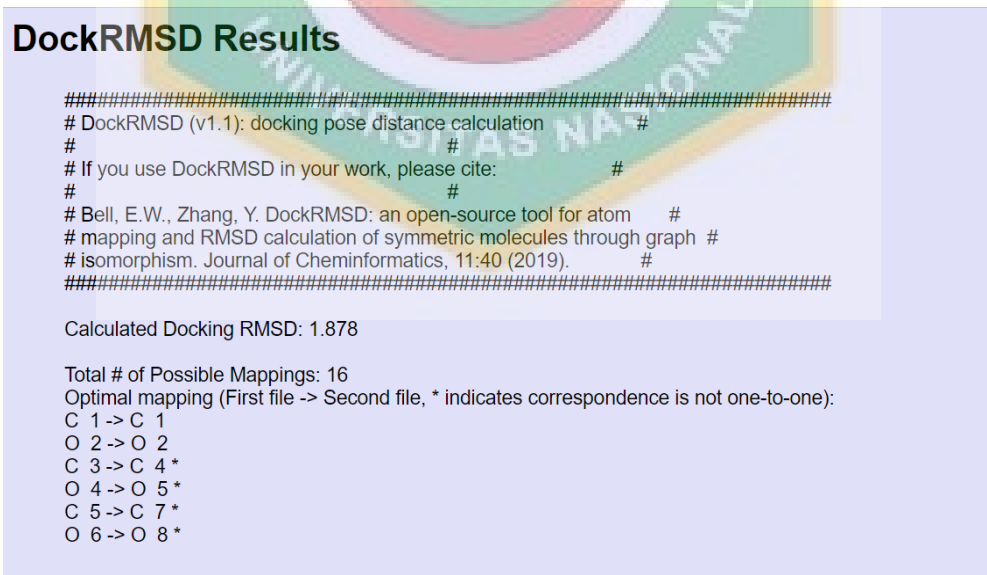
Senyawa Aktif	Penyerapan Usus (%)	Penyerapan Kulit (log Kp)	Klarutan Dalam Air (log mol/L)	Inhibitor Sitokrom P450					Hepatotoksitas	Sensitisasi Kulit	LD ₅₀ (mg/kg)	
				CYP2D6	CYP3A4	CYP2C9	CYP2C19	CYP1A2				
1,8-Cineol	96.505	-2.437	-2.63	tidak	tidak	tidak	tidak	tidak	tidak	ya	2480	
<i>α</i> -Pinene	95.061	-1.852	-3.689	tidak	tidak	tidak	tidak	tidak	tidak	tidak	3700	
<i>β</i> -Myrcene	95.544	-1.173	-4.338	tidak	tidak	tidak	tidak	tidak	tidak	tidak	5000	
<i>β</i> -Ocimene	95.116	-1.169	-4.314	tidak	tidak	tidak	tidak	tidak	tidak	tidak	113	
<i>β</i> -Pinene	95.431	-1.683	-4.078	tidak	tidak	tidak	tidak	tidak	tidak	tidak	4700	
Borneol	92.98	-2.153	-2.477	tidak	tidak	tidak	tidak	tidak	tidak	ya	500	
Camphene	94.972	-1.473	-4.189	tidak	tidak	tidak	tidak	tidak	tidak	tidak	5000	
Camphor	95.506	-1.983	-2.912	tidak	tidak	tidak	tidak	tidak	tidak	ya	775	
Carvacrol	92.402	-1.312	-2.994	tidak	tidak	tidak	tidak	tidak	ya	tidak	810	
Carvone	97.216	-2.156	-2.457	tidak	tidak	tidak	tidak	tidak	tidak	ya	1640	
Cis-Dihydrocarvone	96.61	-2.113	-2.538	tidak	tidak	tidak	tidak	tidak	tidak	tidak	5000	
Citronellal	95.139	-1.36	-3.495	tidak	tidak	tidak	tidak	tidak	tidak	ya	2420	
Decanal	94.394	-1.319	-4.337	tidak	tidak	tidak	tidak	tidak	tidak	ya	5000	
Eugenol	93.397	-1.88	-2.02	tidak	tidak	tidak	tidak	tidak	ya	ya	1930	
<i>γ</i> -Terpinene	95.698	-1.557	-3.865	tidak	tidak	tidak	tidak	tidak	tidak	tidak	tidak	2500
Geranial	95.317	-2.413	-3.377	tidak	tidak	tidak	tidak	tidak	tidak	tidak	ya	500
Geraniol	92.788	-1.511	-2.866	tidak	tidak	tidak	tidak	tidak	tidak	tidak	ya	2100
Heptanol	92.902	-1.742	-2.105	tidak	tidak	tidak	tidak	tidak	tidak	tidak	ya	1000
Limonene	95.408	-1.744	-3.543	tidak	tidak	tidak	tidak	tidak	tidak	tidak	ya	4400
Linalool	92.722	-1.665	-2.668	tidak	tidak	tidak	tidak	tidak	tidak	tidak	ya	2200
Menthol	94.717	-2.06	-2.43	tidak	tidak	tidak	tidak	tidak	tidak	tidak	ya	940
Neral	95.317	-2.413	-3.377	tidak	tidak	tidak	tidak	tidak	tidak	tidak	ya	500
Nerol	92.788	-1.511	-2.866	tidak	tidak	tidak	tidak	tidak	tidak	tidak	ya	2100
P-Cymene	94.253	-1.051	-3.938	tidak	tidak	tidak	tidak	tidak	ya	tidak	ya	3
Sabinene	95.135	-1.348	-4.651	tidak	tidak	tidak	tidak	tidak	tidak	tidak	tidak	5000

LAMPIRAN II. GAMBAR LAMPIRAN

Gambar Lampiran 1. Hasil perhitungan nilai RMSD ligan alami protein 4BXI pada proses validasi protokol penambatan



Gambar Lampiran 2. Hasil perhitungan nilai RMSD ligan alami protein 4G4K pada proses validasi proses protokol penambatan



STUDI IN SILICO: MINYAK ATSIRI KETUMBAR (*Coriandrum sativum L.*) SEBAGAI QS-INHIBITOR DALAM PEMBENTUKAN BIOFILM *Staphylococcus aureus*

ORIGINALITY REPORT



PRIMARY SOURCES

1	etheses.uin-malang.ac.id Internet Source	 1 %
2	Submitted to Universitas Nasional Student Paper	1 %
3	ejournals.stfm.ac.id Internet Source	1 %
4	jurnal.uns.ac.id Internet Source	1 %
5	jurnlnasional.ump.ac.id Internet Source	1 %
6	download.garuda.ristekdikti.go.id Internet Source	<1 %
7	123dok.com Internet Source	<1 %
8	media.neliti.com Internet Source	<1 %
	riset.unisma.ac.id	

Exclude quotes On
Exclude bibliography On

Exclude matches < 17 words

